# 強化 IRT の長さにもとづく VRと VIの弁別

VR-VI discrimination based on reinforced IRT duration.

○丹野 貴行・坂上 貴之

Takayuki TANNO and Takayuki SAKAGAMI

(慶應義塾大学文学部)

(Faculty of Letters, Keio University)

Key words: variable-ratio, variable-interval, interresponse time, discrimination, rat, lever press

#### 目的

強化率を等しくした変動比率スケジュール(VR)と変動時隔スケジュール(VI)では、前者の下でより高反応率が得られる。Tanno and Sakagami (2008)は、その原因は強化子が随伴した反応の反応間時間 (強化IRT) の違いであることを示した。しかしそこでの VR と VI の強化 IRT の差分は、4 匹のラットでそれぞれ 1.00、0.85、1.01、0.61 秒であった。このような短い差分が、本当に反応率の違いをもたらしたのであろうか。本研究では、強化 IRT の差分にもとづき VR と VI を弁別できるかという観点から、Tanno and Sakagami (2008)の結論の妥当性を検証した。

#### 方法

被験体・装置 体重を自由摂取時の 85%に統制した、実験歴の無いオスのウィスター系ラット 4 匹 (F1、F2、F3、F4) を用いた。装置はラット用オペラント箱で、前面パネルに 2 つのリトラクタブルレバー、背面パネルに 1 つのレバーが設置されていた。強化子として 45mg ペレットを用いた。

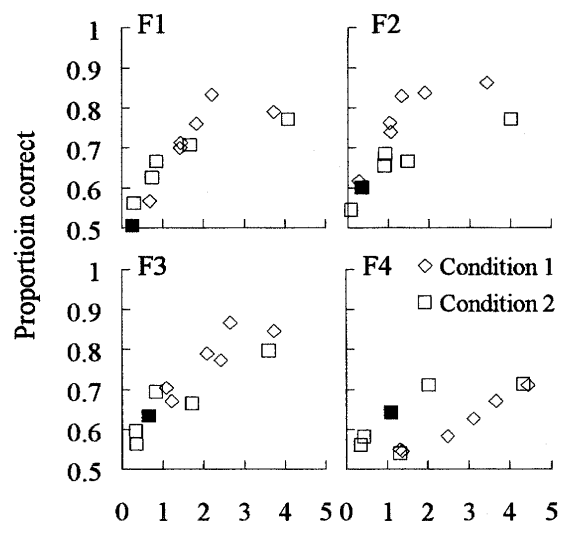
手続き 1試行は見本成分と弁別成分に分かれていた。まず見本成分では、背面レバーにおいて、2種類あるスケジュール (S1、S2 とする) のうちの一方を呈示した。そしてそのスケジュールを満たすとブザーが鳴り、正面の 2 つのレバーが呈示され、弁別成分へと移行した。弁別成分では、そのどちらかのレバーに 1 回反応することで、見本成分でのスケジュールの弁別を求めた。それが正しかったならば強化子を呈示し、次試行を開始した。一方違っていた場合には、修正試行として同じ試行を繰り返した。

1 セッションは、10 試行ごとの6 つのブロック(修正試行は除く)に分かれていた。各ブロックでは、S1 と S2 を 5 回ずつ、順序をランダムに呈示した。ブロック間の違いは S2 のスケジュール値であった。条件1 では、S1 として tandem RI X 秒 DRH 0.5 秒を、S2 として tandem RI X 秒 DRL Y 秒を用いた。このうちのY の値が0.1、0.5、0.75、1.00、1.50、3.00 の 6 種類あり、これを順序をランダムに、ブロックに分けて呈示した。続く条件2 では、S1 を RR Z に、また S2 における DRL 1.5 秒のブロックを、単純な RI へと変更した。また両条件のX とZ の値を調整することで、スケジュールが完了する長さを、6 ブロック全体および各ブロックの S1

と S2 で等しくした。2 つの条件はそれぞれ 30 セッションずつ実施した。

### 結果と考察

図1にブロックごとの正答率を示す。強化 IRT の差分が 大きくなるほど、弁別率は負の増加関数的に上昇した。RR と RI の結果は、F1 を除きその弁別ができていた(二項検定 による)。F1 についても、そこでの強化 IRT の差分が 0.25 秒と極めて短くなったためであり、図 1 は、それがもう少 し長いならばできていたことを示唆している。



Difference of reinforced-IRT duration (s)

図 1 強化 IRT の差分による正答率の変化 図中の黒い点は RR と RI (条件 2) の弁別の結果である。

# 結論

VR と VI は、その強化 IRT の差分にもとづき弁別が可能であった。これは、VR-VI 反応率差の原因は強化 IRT だとする Tanno and Sakagami (2008)の結論を支持している。

# 引用文献

Tanno, T., & Sakagami, T. (2008). On the primacy of molecular processes in determining response rates under variable-ratio and variable-interval schedules. *Journal of the Experimental Analysis of Behavior*, 89, 5-14.